

# Органическая химия

УДК 547.341+547.725

## 1,6-ДИАЛКИЛ-3,4-ДИГИДРОКСИ-2,4-ГЕКСАДИЕН-1,6-ДИОНЫ: СИНТЕЗ И ОСОБЕННОСТИ СТРОЕНИЯ

О.Г. Карманова, В.О. Козьминых, П.П. Муковоз, Е.Н. Козьминых

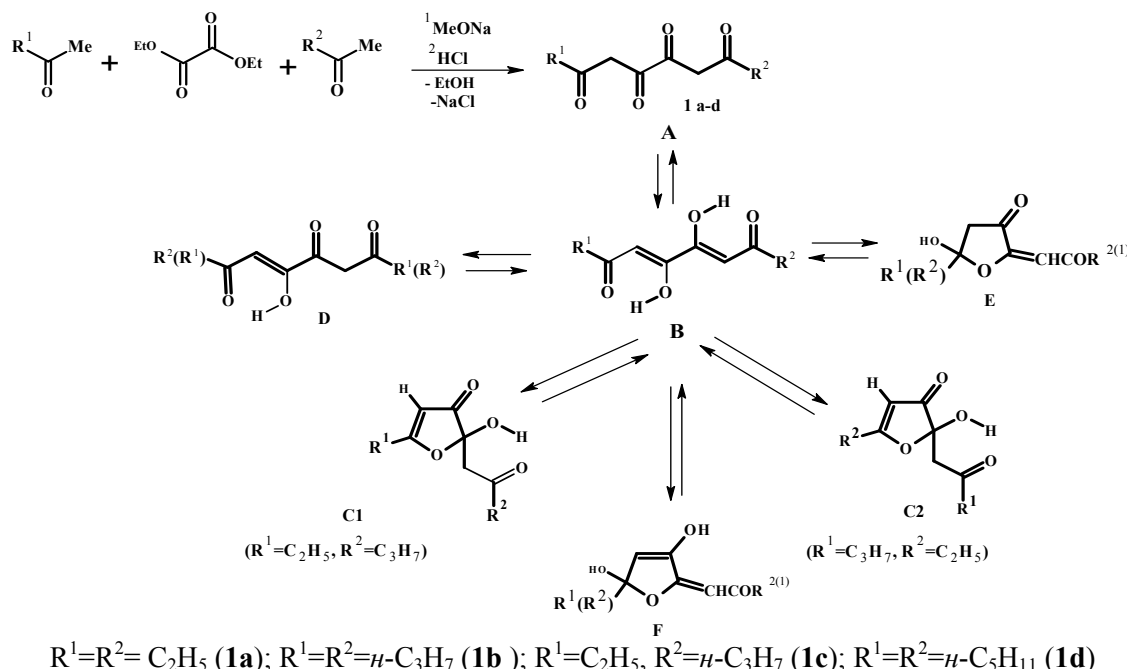
Конденсацией алкилметилкетонов с диэтилоксалатом в присутствии метилата натрия получены 1,6-диалкилзамещенные 3,4-дигидрокси-1,6-гексадиен-1,6-дионы. С помощью спектральных методов выявлены семь таутомерных форм, обсуждаются кольчато-цепные и кольчатокольчатые интерконверсии.

*Ключевые слова:* алкилметилкетоны; оксалильная конденсация; 1,6-диалкил-3,4-дигидрокси-1,6-гексадиен-1,6-дионы; таутомерные формы.

### Введение

Известно, что сложноэфирная конденсация Клайзена арилметилкетонов с диэтилоксалатом в присутствии оснований приводит к образованию 1,6-диарилпроизводных 1,3,4,6-тетраоксогексанов [1–4]. Среди 1,3,4,6-тетракарбонильных систем (ТКС) до наших исследований наименее изученными оставались 1,6-диалкилпроизводные, особенности строения которых ранее не были известны. Литературные сведения по 1,6-диалкил-1,3,4,6-тетраоксогексанам ограничиваются краткими данными по соединениям, имеющим в своем составе одинаковые алкильные заместители [3].

С целью получения и исследования деталей строения алкилпроизводных ТКС нами проведена реакция алкилметилкетонов с диэтилоксалатом и метилатом натрия при соотношении реагентов 2:1:2 с последующим подкислением, в результате которой с удовлетворительными выходами получены 1,6-диалкил-1,3,4,6-тетраоксогексаны **1a–d** (см. рисунок, таблицу). С помощью спектральных методов у соединений **1a–d** обнаружено несколько таутомерных форм **A–F**.



Синтез 1,6-диалкил-1,3,4,6-тетраоксогексанов

1,6-Диалкил-1,3,4,6-тетраоксогексаны **1** в твердом состоянии и неполярных растворах (например, хлороформе) находятся полностью (твердая фаза) или преимущественно (раствор) в линейной диоксадиенольной форме **B**. Это хорошо согласуется с имеющимися литературными данными по 1,6-диарилпроизводным 1,3,4,6-тетракетонов [1, 2]. В полярных растворах (ацетоне, диметилсульфоксиде) у соединений **1** присутствует или количественно преобладает кольчатая оксофурановая форма **C**, находящаяся в подвижном кольчачато-цепном таутомерном равновесии с линейной формой **B**. В случае 1,6-диалкил-1,3,4,6-тетраоксогексанов с различающимися алкильными заместителями в растворе  $\text{DMSO}-d_6$  имеются обе возможные кольчатые формы **C1** и **C2** (см. рисунок).

Характеристики 1,6-диалкил-3,4-дигидрокси-2,4-гексадиен-1,6-дионов **1a–d**

| Соединение | Заместители                 |                             | $T_{\text{пл}}$ , °C       | Выход, % | Брутто-формула (мол. масса)                        |
|------------|-----------------------------|-----------------------------|----------------------------|----------|--|
|            | R <sup>1</sup>              | R <sup>2</sup>              |                            |          |  |
| <b>1a</b>  | $\text{C}_2\text{H}_5$      | $\text{C}_2\text{H}_5$      | 76–78<br>(лит.: 75–76 [3]) | 33       | $\text{C}_{10}\text{H}_{14}\text{O}_4$<br>(198,22) |
| <b>1b</b>  | $n\text{-C}_3\text{H}_7$    | $n\text{-C}_3\text{H}_7$    | 58–60                      | 43       | $\text{C}_{12}\text{H}_{18}\text{O}_4$<br>(226,27) |
| <b>1c</b>  | $\text{C}_2\text{H}_5$      | $n\text{-C}_3\text{H}_7$    | 103–105                    | 37       | $\text{C}_{11}\text{H}_{16}\text{O}_4$<br>(212,24) |
| <b>1d</b>  | $n\text{-C}_5\text{H}_{11}$ | $n\text{-C}_5\text{H}_{11}$ | 58–59                      | 71       | $\text{C}_{16}\text{H}_{26}\text{O}_4$<br>(282,38) |

По данным спектров ЯМР <sup>1</sup>H нами также обнаружены миорные таутомерные формы **A**, **D**, **E**, **F** в количестве 1–3 %. Установленная нами оксофурановая форма **E** не может быть альтернативной на следующих основаниях. В альтернативной форме **E** двухдублетный маркерный сигнал метиленовой группы C(4)H фуранового кольца должен находится, судя по расчету, в области более сильного поля 2,79 м.д. и иметь большое значение КССВ ( $J$  18,0 Гц). Полуацетальный гидроксил должен находится при 3,61 м.д., а находится в гораздо более слабом поле – 7,34 м.д. Это позволяет утверждать, что полуацетальный протон C(2)OH имеет внутримолекулярную водородную связь (BBC) с атомом кислорода ацетильного звена формы **C**. Наряду с основной формой соединения **1a** нами обнаружена в растворе  $\text{DMSO}-d_6$  миорная форма **B** (15 %). В качестве миорной формы с общим содержанием не более 2 % нами выявлено около 1 % тетракетонной формы **A** (маркерный сигнал при 4,02 м.д.), а также 0,5 % формы диоксадиенольной **D** (маркерный сигнал группы  $\text{CH}_2$  при 4,02–4,07 м.д.) и **E** (маркерный сигнал группы  $\text{CH}_2$  при 4,05 м.д.)

В спектре ЯМР <sup>1</sup>H соединения **1a**, записанном в растворе хлороформа, маркерными сигналами являются сигналы группы C(2,5)H. Переход в гомологическом ряду не приводит к изменению положения метинового протона ( $\delta$  6,33–6,34 м.д.). Спектр соединения **1a** характеризуется тройным сигналом метильной группы 1,12 м.д. ( $J$  7,8 Гц), квадруплетом метиленовой группы при 2,52 м.д. ( $J$  7,8 Гц) и уширенным сигналом гидроксильной группы при 14,58 м.д. Данные спектра практически полностью согласуются с расчетными для соединения **1a**. Протоны метиновых групп хелатных колец являются магнитно эквивалентными. Об этом свидетельствуют близкие значения химических сдвигов подвижных протонов гидроксильных групп енольного звена гомологов. Все это подтверждает равномерность перераспределения электронной плотности в устойчивых стабилизированных шестичленных OH-хелатных кольцах, влияние алкильных заместителей на которые оказывается практически несущественным. Триплет метильной группы при 1,12 м.д. ( $J$  7,8 Гц), квадруплет метиленовой группы при 2,52 м.д. ( $J$  7,8 Гц), синглет протона метиновой группы при C(2,5)H и уширенный сигнал протона гидроксильной группы соответствуют диоксадиенольной форме **B**. Общее содержание данной формы в растворе хлороформа составляет 98 %. В спектре хлороформа соединения **1a** обнаружена миорная форма **D** (2 %). В спектре соединения **1a**, записанном в  $\text{DMSO}-d_6$ , преобладающей является кольчатая оксофурановая форма **C** (80 %). Суммарное содержание форм **B** и **C** составляет 97 %, на миорные таутомеры **A** и **E** приходится соответственно 3 %.

В спектре ЯМР <sup>1</sup>H соединения **1b**, снятого в растворе дейтерохлороформа, присутствует характеристический триплет метиленовой группы при 0,96 м.д. ( $J$  7,8 Гц), квадруплетный сигнал

## Органическая химия

метиленовой группы при 2,45 м.д. ( $J$  7,8 Гц), двухдублетный сигнал метиленовой группы при 1,68 м.д. ( $J$  7,8 Гц). Маркерным сигналом является протон C(2,5)H со значением химического сдвига 6,33 м.д. и уширенный сигнал гидроксильной группы 14,70 м.д. Соединение **1b** существует в растворе хлороформа в преобладающей диоксадиенольной форме **B** (96 %). Однако нами рассчитано содержание минорных форм, обнаруженных в спектре хлороформа соединения **1b**. Минорными формами в данном случае являются формы **A** (1 %) и **D** (3 %).

В спектре соединения **1b**, записанного в  $\text{ДМСО}-d_6$ , общее содержание диоксадиенольной формы **B** и кольчатой оксофурановой формы **C** составляет 98 %. Нами обнаружено, что оставшиеся 2 % приходятся на минорную форму **D**. В отличие от раствора  $\text{ДМСО}-d_6$ , в котором количественно преобладает оксофурановая форма, в растворе *d*-ацетона для соединения **1c** ее содержание незначительно (95 %) по сравнению с раствором  $\text{ДМСО}-d_6$ . Это хорошо объясняется полярностью ацетона ( $\epsilon$  21,5 D) и диметилсульфоксида-*d*<sub>6</sub> ( $\epsilon$  45 D). В спектре ЯМР <sup>1</sup>Н соединения **1b**, снятого в растворе *d*-ацетона, наблюдается сольватация со стабилизацией *bis*-хелата. Это преимущественно проявляется в том, что сигнал протонов при C(2,5)H ( $\delta$  6,42 м.д.) незначительно смещается в слабое поле по сравнению с раствором хлороформа ( $\delta$  6,33 м.д.) и вместе с тем находится в более сильном поле ( $\delta$ , 6,43 м.д.) по сравнению с раствором  $\text{ДМСО}-d_6$ , в котором имеет место специфическая сольватация.

В спектре ЯМР <sup>1</sup>Н соединения **1c**, снятого в растворе дейтерохлороформа, содержание преобладающей формы **B** составляет 96,5 %, а содержание обнаруженных минорных форм **A**, **F** и **E** составляет соответственно 2 %, 1 % и 0,5 %. В спектре присутствует сигнал метильной группы в  $\text{CH}_3\text{CH}_2\text{CH}_2\text{CO}$  при 0,96 м.д. ( $J$  7,8 Гц) и сигнал метильной группы в  $\text{CH}_3\text{CH}_2\text{CO}$  при 1,16 м.д. ( $J$  7,8 Гц); квадруплет, триплет и мультиплет метиленовой группы находятся при следующих значениях химического сдвига: 2,52 м.д. ( $J$  7,8 Гц), 2,46 м.д. ( $J$  7,8 Гц) и 1,68 м.д. соответственно. Маркерным сигналом является протон метиновой группы при C(2,5)H при 6,3 м.д. В спектре ЯМР <sup>1</sup>Н соединения **1c**, записанного в растворе диметилсульфоксида, преобладающей являются оксофурановая форма **C** (45 % **C1** и 39 % **C2**), содержание диоксадиенольной формы **B** составляет 14,5 % и на минорную форму **D** приходится 1,5 %. Сигналы всех протоносодержащих групп фрагментов, расположенных по обе стороны связи C(5)–C(6), являются практически магнитноэквивалентными и не дублируются. Этот факт является неожиданным, поскольку соединение **1c** не является осесимметричным по связи C(5)–C(6) даже несмотря на близость значений индуктивных эффектов этильной и *n*-пропильной групп. Сравнительно незначительные отличия в значениях положительных индуктивных эффектов этильной (+I, 6,30) и пропильной (+I, 6,68) групп позволяют судить о существенных отличиях структур **C1** и **C2**. В данном случае происходит наложение сигналов этильной и *n*-пропильной групп друг на друга, что косвенным образом является подтверждением аналогичного наложения сигналов в региоизомерных формах **C1** и **C2**. Наложение синглетов метиновых протонов C(4)H кольчачных форм **C1** и **C2** друг на друга ( $\delta$  5,52 м.д.) свидетельствует об их магнитной эквивалентности и об отсутствии влияния этильного и пропильного заместителя в этих формах на положение метинового протона. Этот факт также является неожиданным и может быть интерпретирован как результат незначительной разницы в положительных индуктивных эффектах этих заместителей. Впервые нами доказано, что региоизомеры как, например, кольчачные полуацетали **C1** и **C2**, могут быть вовлечены в прототропные равновесия с переходом друг в друга через оксоенольную форму **B** в равновесной системе **C1** ⇌ **C2**. Этот факт интерпретируется нами как кольчачно-кольчачные интерконверсии [6]. Ранее сведения о возможности существования равновесных состояний для геометрически фиксированных региоизомеров на основе оксофурановых полуацеталей отсутствовали.

В спектре ЯМР <sup>1</sup>Н соединения **1d**, снятого в растворе дейтерохлороформа, содержание преобладающей формы **B** составляет 94 %, а обнаруженных минорных форм **A** и **F** соответственно 1,5 и 4,5 %. В спектре присутствуют сигналы фрагмента  $\text{CH}_3\text{CH}_2\text{CH}_2\text{CH}_2\text{CH}_2\text{CO}$ : триплет группы  $\text{CH}_3$  при 0,89 м.д. ( $J$  7,0 Гц), метиленовые сигналы (4Н, 2 $\text{CH}_2$ ) при 1,29–1,36 м.д. и (2Н,  $\text{CH}_2$ ) при 1,60–1,70 м.д.; квадруплет метиленовой группы при 2,47 м.д. ( $J$  7,5 Гц), синглет метиновой группы C(2,5)H при 6,33 м.д., а также уширенный сигнал протона гидроксильной группы при 14,70 м.д. В спектре соединения **1d**, записанного в  $\text{ДМСO}-d_6$ , содержание кольчачной оксофурановой формы **C** составляет 85 %, содержание минорных форм **B** и **D** составляет 13,5 и 1,5 % соответственно. Этот спектр соединения **1d** характеризуется наличием группы сигналов

*n*-пентильной группы при следующих значениях химических сдвигов: 0,86–0,93 м.д., 1,19–1,41 м.д., 1,46–1,56, 2,43–2,47 м.д. В составе сложной группы сигналов невозможно обнаружить отдельные разрешенные сигналы концевых протоносодержащих групп (метильной и метиленовой) вследствие наложения мультиплетов двух преобладающих форм **B** и **C** друг на друга. Присутствие характеристического двухдублетного сигнала при 2,94 м.д. с хорошо согласующейся КССВ ( $J$  15,6 Гц), а также наличие протона гидроксильной группы C(2)OH при 7,81 м.д. указывает на преобладание формы **C**. На незначительное содержание минорной формы **D** указывает синглет метиленовой группы при 4,03 м.д. и синглет метиленовой группы при C(2)H со значением химического сдвига 6,32 м.д.

### Заключение

Таким образом, в растворах соединений **1** нами обнаружены ранее не описанные таутомерные формы **E** и **F**. Анализ спектральных характеристик соединений **1a–d** дает основание утверждать, что в растворе хлороформа количественно преобладающей является форма **B** (96–98 %), а в растворе диметилсульфоксида – форма **C** (80–83 %).

### Экспериментальная химическая часть

ИК спектры полученных соединений **1** записаны на спектрофотометре «Инфракрасный ФТ-02» в пасте твердого вещества в вазелиновом масле. Спектры ЯМР  $^1\text{H}$  соединений **1** получены на приборе «MERCURYplus-300» (300,05 МГц) в  $\text{DMSO}-d_6$  и  $\text{CDCl}_3$ , внутренний стандарт – ТМС. Протекание реакций контролируют, а индивидуальность полученных веществ подтверждают методом TCX на пластинках Silufol UV-254 в системе гексан – ацетон, 3:1, хроматограммы проявляют парами иода. Исходные реагенты перед использованием очищают перегонкой.

### Синтез 1,6-дизамещенных 3,4-дигидрокси-2,4-гексадиен-1,6-дионов (1a–d).

#### Общая методика

К 100 мл метанола, предварительно перегнанного над натрием, добавляют порциями 1,15 г (50 ммоль) натрия, метанол отгоняют, к сухому метилату натрия добавляют 150 мл абсолютного диэтилового эфира, при охлаждении и перемешивании прибавляют по каплям смесь 4,4 мл (50 ммоль) бутанона (для синтеза соединения **1a**), 5,3 мл (50 ммоль) 2-пентанона (для синтеза соединения **1b**), 2,2 мл (25 ммоль) бутанона и 2,7 мл (25 ммоль) 2-пентанона (для синтеза соединения **1c**), 5,2 мл 2-гептанона (для синтеза соединения **1d**) и 3,4 мл (25 ммоль) диэтилоксалата и нагревают 1–2 часа. Осадок отфильтровывают, добавляют при перешивании и охлаждении 15 мл 15 % соляной кислоты, продукт кристаллизуют из этилацетата. Получают бесцветные кристаллы соединений **1a–d**.

**(4Z, 6Z)-5,6-Дигидроксидека-4,6-диен-3,8-дион (1a).** Бесцветные кристаллы. Выход 1,90 г (33 %), т. пл. 76–78°C (лит.: 75–76°C [3]). Спектр ЯМР  $^1\text{H}$ , δ, м.д., ( $\text{CDCl}_3$ ): 1,12 т (3Н,  $\text{CH}_3$ , форма **B**, 98 %), 2,52 кв (2Н,  $\text{CH}_2$ ,  $J$  7,8 Гц, **B**), 6,33 с (1Н, C(2,5)H, **B**). Спектр ЯМР  $^1\text{H}$ , δ, м.д., ( $\text{DMSO}-d_6$ ): 0,91 т (3Н,  $\text{CH}_3$  в  $\text{C}_2\text{H}_5\text{CO}$ ), 1,13 т (3Н,  $\text{CH}_3$  в  $\text{CH}_3\text{CH}_2\text{C}(5)$ , **C**, 80 %), 1,10 т (3Н,  $\text{CH}_3$ , **B**, 17 %), 2,64 кв (2Н  $\text{CH}_2$ , **B**), 2,93 два д (2Н,  $\text{CH}_2$ ,  $J$  15,3 Гц, **C**), 5,52 с ( $\text{CH}$ , C(4)H, **C**), 6,43 с (1Н, C(2,5)H, **B**), 7,80 с (C(2)OH, **C**), 14,58 уш.с. (C(3,4)OH, **B**). Найдено, %: С 60,87; Н 7,45.  $\text{C}_{10}\text{H}_{14}\text{O}_4$ . Вычислено, %: С 60,59; Н 7,11.

**(5Z,7Z)-6,7-Дигидроксидодека-5,7-диен-4,9-дион (1b).** Бесцветные кристаллы. Выход 4,0 г (43%), т. пл. 58–60°C. ИК спектр, ν,  $\text{cm}^{-1}$  (форма **B**): 3253 (OH<sub>хелат</sub>), 3097 (CH), 2962 ν<sub>as</sub> ( $\text{CH}_3$ ), 2932 ν<sub>as</sub> ( $\text{CH}_2$ ), 2896 ν<sub>s</sub> ( $\text{CH}_3$ ), 2872 ν<sub>s</sub> ( $\text{CH}_2$ ), 1556 шир. (C(1,6)=O<sub>хелат</sub>), 1460 δ<sub>as</sub> ( $\text{CH}_3$ ), 1397 δ<sub>крутильные</sub> ( $\text{CH}_2$ ), 1353 δ<sub>s</sub> ( $\text{CH}_3$ ), 1285 δ<sub>веерные</sub> ( $\text{CH}_2$ ), 1142, 1094, 1070, 1036, 942, 903, 873 ν<sub>скелетные</sub> (C–C), 793 δ<sub>мягкотканевые</sub> ( $\text{CH}_3$ ), 579 ν<sub>скелетные</sub> (C–C). Спектр ЯМР  $^1\text{H}$ , δ, м.д., ( $\text{CDCl}_3$ ): 0,96 т (3Н,  $\text{CH}_3$ , **B**, 96 %), 2,46 кв (2Н,  $\text{CH}_2$ ), 1,68 м (2Н,  $\text{CH}_2$ ), 6,33 (CH, C(2,5)H). Спектр ЯМР  $^1\text{H}$ , δ, м.д., ( $\text{DMSO}-d_6$ ): 0,85 т (3Н,  $\text{CH}_3$  в  $\text{CH}_3\text{CH}_2\text{CH}_2\text{C}(5)$ , **C**, 80 %), 0,96 т (3Н,  $\text{CH}_3$  в  $\text{CH}_3\text{CH}_2\text{CH}_2\text{CO}$ , **B**, 18 %), 2,43–2,59 т (2Н,  $\text{CH}_2$ , **C**), 2,43–2,59 т (2Н,  $\text{CH}_2$ , **B**), 1,46 м (2Н,  $\text{CH}_3\text{CH}_2\text{CH}_2\text{CO}$ , **C**), 1,64 м (2Н,  $\text{CH}_3\text{CH}_2\text{CH}_2\text{C}(5)$ , **C**), 1,65 м (2Н,  $\text{CH}_2$ , **B**), 2,94 два д (2Н,  $\text{CH}_2$ ,  $J$  15,6 Гц, **C**), 6,43 с (1Н, C(2,5)H, **B**), 5,53 с (1Н, C(4)H, **C**), 7,79 с (C(2)OH, **C**), 14,58 уш. с. (C(3,4)OH, **B**). Спектр ЯМР  $^1\text{H}$ , δ, м.д., (( $\text{CD}_3)_2\text{CO}$ ): 0,98 т (3Н,  $\text{CH}_3$ , **B**, 95 %), 0,91 т (3Н,  $\text{CH}_3$ , **C**), 2,59 т (2Н,  $\text{CH}_2$ ,  $J$  7,5 Гц, **B**), 2,48 м (2Н,  $\text{CH}_2$ ,  $J$  7,5 Гц, **C**), 1,70 м (2Н,  $\text{CH}_2$ , **B**), 1,56 м (2Н,  $\text{CH}_2$ ), 2,97 два д (2Н,  $\text{CH}_2$ ,  $J$  15,9 Гц, **C**), 5,41 с

## Органическая химия

(1H, C(4)H, C), 6,42 с (1H, C(2,5)H, **B**). Найдено, %: C 63,92; H 8,33. C<sub>12</sub>H<sub>18</sub>O<sub>4</sub>. Вычислено, %: C 63,69; H 8,02.

**4Z,6Z)-5,6-Дигидроксиундека-4,6-диен-3,8-дион (1c).** Бесцветные кристаллы. Выход 1,70 г (37 %), т. пл. 103–105°C. ИК спектр, ν, см<sup>-1</sup> (форма **B**): 3250 (ОН<sub>хелат</sub>), 3098 (CH), 2963 ν<sub>as</sub> (CH<sub>3</sub>), 2924 ν<sub>as</sub> (CH<sub>2</sub>), 2873 ν<sub>s</sub> (CH<sub>3</sub>), 2853 ν<sub>s</sub> (CH<sub>2</sub>), 1556 (C(1,6)=O<sub>хелат</sub>), 1461 δ<sub>as</sub> (CH<sub>3</sub>), 1399 δ<sub>крутильные</sub> (CH<sub>2</sub>), 1375 δ<sub>s</sub> (CH<sub>3</sub>), 1288 δ<sub>веерные</sub> (CH<sub>2</sub>), 1137, 1092, 1047, 1000, 875, 801 ν<sub>скелетные</sub> (C—C), 783 δ<sub>маятниковые</sub> (CH<sub>3</sub>), 573 ν<sub>скелетные</sub> (C—C). Спектр ЯМР <sup>1</sup>H, δ, м.д., (CDCl<sub>3</sub>): 0,96 т (3H, CH<sub>3</sub>CH<sub>2</sub>CH<sub>2</sub>CO, **B**, 96,5 %), 1,16 т (3H, CH<sub>3</sub>CH<sub>2</sub>CO, J 7,8 Гц), 2,52 кв (2H, CH<sub>2</sub>, J 7,8 Гц, **B**), 2,46 т (2H, CH<sub>2</sub>, **B**), 1,68 м (2H, CH<sub>2</sub>), 6,33 с (1H, C(2,5)H, **B**). Спектр ЯМР <sup>1</sup>H, δ, м.д., (ДМСО-d<sub>6</sub>): 1,10 т (3H, CH<sub>3</sub>, **B**, 14,5 %), 0,83–0,99 т (3H, CH<sub>3</sub>, **C**), 2,43–2,60 кв (2H, CH<sub>2</sub>, **C**), 2,432,60 т (2H, CH<sub>2</sub>, **C**), 1,46 м (2H, CH<sub>2</sub>, **C2**, 39 %), 1,61 м (2H, CH<sub>2</sub>, **C1**, 45 %), 1,56 м (2H, CH<sub>2</sub>, **B**), 2,93 два д (2H, CH<sub>2</sub>, J 15,0 Гц, **C**), 5,52 с (1H, C(4)H, **C**), 6,43 с (1H, C(2,5)H, **B**), 7,79 с (C(2)OH, **C**), 14,59 уш.с. (C(3,4)OH, **B**). Найдено, %: C 62,44; H 7,71. C<sub>11</sub>H<sub>16</sub>O<sub>4</sub>. Вычислено, %: C 62,25; H 7,59.

**(7Z,9Z)-8,9-дигидроксигексадека-7,9-диен-6,11-дион (1d).** Бесцветные кристаллы. Выход 2,85 г (71 %), т. пл. 58–59°C. ИК спектр, ν, см<sup>-1</sup> (форма **B**): 3200 (ОН<sub>хелат</sub>), 3099 (CH), 2924 ν<sub>as</sub> (CH<sub>3</sub>), 2856 ν<sub>s</sub> (CH<sub>3</sub>), 1594 (C(1,6)=O<sub>хелат</sub>), 1466 δ<sub>as</sub> (CH<sub>3</sub>), 1376 δ<sub>s</sub> (CH<sub>3</sub>), 1263 δ<sub>веерные</sub> (CH<sub>2</sub>), 1144, 1041, 1003, 946, 881, 849 ν<sub>скелетные</sub> (C—C). Спектр ЯМР <sup>1</sup>H, δ, м.д., (CDCl<sub>3</sub>) (форма **B**): 0,89 т (3H, CH<sub>3</sub>, J 7,0 Гц,), 1,29–1,36 гр.с. (4H, 2CH<sub>2</sub>), 1,60–1,70 гр.с. (2H, CH<sub>2</sub>), 2,47 т (2H, CH<sub>2</sub>, J 7,5 Гц), 6,33 с (C(2,5)H), 14,70 уш.с. (C(3,4)OH). Спектр ЯМР <sup>1</sup>H, δ, м.д., (ДМСО-d<sub>6</sub>): 0,86–0,93, 1,19–1,41, 1,46–1,56, 2,43–2,47 гр.с. (11H, C<sub>5</sub>H<sub>11</sub>, **B**, 13,5 %), 2,91 два д (2H, CH<sub>2</sub>, J 15,6 Гц, **C**, 85 %), 4,03 с (2H, CH<sub>2</sub>, **D**), 5,53 с (1H, C(4)H, **C**), 6,32 с (1H, C(2)H, **D**), 6,44 с (1H, C(2,5)H, **B**), 7,81 с (C(2)OH, **C**). Найдено, %: C 68,05; H 9,27. C<sub>16</sub>H<sub>26</sub>O<sub>4</sub>. Вычислено, %: C 68,31; H 9,49.

### Литература

1. Poje, M. 3(2H)-Furanone derivatives. Ring-chain tautomerism in the 1,3,4,6-tetraketone series / M. Poje, K. Balenović // J. Heterocycl. Chem. – 1979. – Vol. 16, № 3. – P. 417–420.
2. 1,3,4,6-Тетракарбонильные соединения. Синтез, особенности строения и противомикробная активность 1,6-диарил-3,4-дигидрокси-2,4-гексадиен-1,6-дионов / Н.М. Игидов, Е.Н. Козьминых, О.А. Софьина и др. // Химия гетероциклических соединений. – 1999. – Вып. 11. – С. 1466–1475.
3. Козьминых, В.О. Конденсация Клайзена метилкетонов с диалкилоксалатами в синтезе биологически активных карбонильных соединений (обзор, часть 3) / В.О. Козьминых, В.И. Гончаров, Е.Н. Козьминых // Вестник Оренбургского гос. ун-та. – 2007. – Вып. 5 (69). – С. 138–148.
4. Синтез, особенности строения и таутомерия 1,6-дизамещённых 3,4-дигидрокси-2,4-гексадиен-1,6-дионов / Е.А. Кириллова, П.П. Муковоз, А.Н. Виноградов и др. // Изв. вузов. Химия и хим. технология. – 2011. – Т. 54. – Вып. 4. – С. 18–22.
5. Молекулярный дизайн таутомерных интерконверсий гетероциклов / К.Н. Зеленин, В.В. Алексеев, К. Пихляя, В.В. Овчаренко // Известия Академии наук. Серия «Химия». – 2002. – Вып. 2. – С. 197–212.
6. Zelenin, K.N. Tautomeric interconversions of heterocyclic derivatives / K.N. Zelenin, V.V. Alekseyev // Targets in Heterocyclic Systems. – 1997. – Vol. 1. – P. 83–116.

Поступила в редакцию 17 февраля 2012 г.

## SYNTHESIS AND STRUCTURE PECULIARITIES OF 1,6-DIALKYL-3,4-DIHYDROXY-2,4-HEXADIENE-1,6-DIONES

Claisen condensation of methyl ketones with diethyl oxalate in presence of sodium methylate results in 1,6-dialkyl-3,4-dihydroxy-2,4-hexadiene-1,6-diones. Seven tautomeric forms of synthesized compounds are found in solutions, ring-chain and ring-ring interconversions are discussed.

*Keywords:* alkyl methyl ketones, oxalyl condensations, tautomeric equilibria.

**Karmanova Olga Gennadyevna** – Postgraduate Student, Chemistry Subdepartment, Perm State Pedagogical University, Sibirskaya St., 24, Perm, 614990.

**Карманова Ольга Геннадьевна** – аспирант, кафедра химии, Пермский государственный педагогический университет, 614990, г. Пермь, ул. Сибирская, 24.

E-mail: o\_karmanova@mail.ru

**Koz'minykh Vladislav Olegovich** – Sc. (Chemistry), Professor, Chemistry Subdepartment, Perm State Pedagogical University, Sibirskya St., 24, Perm, 614990.

**Козьминых Владислав Олегович** – доктор химических наук, кафедра химии, Пермский государственный педагогический университет, 614990, г. Пермь, ул. Сибирская, 24.

E-mail: kvoncstu@yahoo.com

**Mukovoz Petr Petrovich** – PhD (Chemistry), researcher. Orenburg Institute of cellular and infracellular symbiosis, scientific collaborator, Pionerskaya, 11, Orenburg, 460000.

**Муковоз Петр Петрович** – кандидат химических наук, научный сотрудник, Оренбургского института клеточного и внутриклеточного симбиоза, г. Оренбург, ул. Пионерская, 11, 460000.

E-mail: mpp27@mail.ru

**Koz'minykh Elena Nikolaevna** – Sc. (Pharmacologia), Professor. Perm State Pedagogical University, Sibirskya st., 24, Perm, 614990.

**Козьминых Елена Николаевна** – доктор фармацевтических наук, профессор. Пермский государственный педагогический университет, 614990, г. Пермь, ул. Сибирская, 24.

E-mail: kvoncstu@yahoo.com